

УДК 518.5:681.142.001.2

УНИВЕРСАЛЬНАЯ ПРОГРАММА ОПТИМИЗАЦИИ ЭЛЕКТРИЧЕСКИХ ЦЕПЕЙ

В.К. Королев

Описывается программа, позволяющая решать задачи оптимизации параметров как статических, так и динамических режимов электрических цепей, причем целевая функция может быть как гладкой, так и негладкой; на оптимизируемые параметры накладываются двусторонние ограничения. Программа написана на языке АКИ.

1. Введение

В работе [1] приведена универсальная программа оптимизации параметров динамических систем квадратичным методом. Программа названа универсальной в том смысле, что она осуществляет решение описанной в [1] задачи стандартным способом; нестандартным в программе является блок счета правых частей системы уравнений и блок расчета начального значения подынтегральной функции.

Предлагаемая ниже программа универсальна в более широком смысле. Во-первых, рассматривается довольно общий вид функционала, играющего роль критерия качества. Во-вторых, от целевой функции не требуется непрерывной дифференцируемости. В-третьих,

программа может быть применена для оптимизации динамических и статических задач как во временной, так и частотной областях.

В тех задачах, где вычисление целевой функции занимает много машинного времени, остро встает вопрос о минимальном числе вычислений этой функции и максимальном использовании информации, полученной от предыдущих вычислений. Способ решения задачи оптимизации, реализованный в описываемой программе, отвечает этому требованию.

2. Постановка задачи

Оптимизация параметров электрической цепи — один из этапов проектирования, когда известна ее конфигурация и проведено математическое моделирование.

В общем случае мы имеем дело со следующей системой уравнений, описывающих электрическую цепь:

$$\begin{cases} \dot{x} = \varphi(x, y, z, t), \\ \frac{dy}{dt} = f(x, y, z, t), \quad y(t_0) = y^0, \end{cases} \quad (I)$$

где t — скаляр (время), x , y и z — векторы, φ и f — векторные функции. Физический смысл x , y и z : $x^T = \|x_1, \dots, x_n\|^T$ — вектор параметров электрической цепи (сопротивления, емкости и т.п.), $y^T = \|y_1, \dots, y_n\|^T$ и $z^T = \|z_1, \dots, z_n\|^T$ — векторы состояний цепи (токи, напряжения и т.д.) (знак "T" означает транспонирование).

Запись уравнений (I) в виде системы конечных и дифференциальных уравнений отражает как формальную, так и существенную стороны дела. Если отсутствуют "дифференциальные" переменные y и соответствующие им уравнения, то мы имеем описание статического режима цепи: $x = \varphi(x, z)$. С другой стороны, не всегда возможно дифференциальные уравнения электрической цепи привести к нормальному виду: $\frac{dy}{dt} = f(x, y, t)$ (как, например, в [2]). Так, если в [3-4] запись уравнений цепи в виде (I) диктовалась соображениями упрощения выкладок при получении уравнений в вариациях, в [1] существенной необходимости оставлять

"конечные" переменные x не было, то в [2] исключить x явно из системы (I) было невозможно.

Таким образом, мы приходим к выводу, что система (I) представляет наиболее общий вид уравнений электрической цепи, учитывающий как статический, так и динамический режимы.

Система (I) рассматривается на множестве $X \times Y \times Z \times T$, где

$$X = \{x \mid \alpha \leq x \leq \beta\}, \quad (2)$$

m - мерный параллелепипед;

$Y \times Z$ - ограниченная связная область в евклидовом пространстве E^{n+s} ;

$T = \{t \mid t_0 \leq t \leq t_N\}$ - конечный интервал.

Предполагается, что якобиан $J = \frac{\partial(\varphi_1 - z_1, \dots, \varphi_s - z_s)}{\partial(z_1, \dots, z_s)}$ отличен от нуля в рассматриваемой области задания системы (I). Это обеспечивает [5] в каждой точке области существование однозначной функции $z = z(x, y, t)$, которая может быть определена, вообще говоря, только численно.

Далее, предположим, что правые части системы (I) непрерывны и непрерывно дифференцируемы по y и z в области ее задания. Тогда существует единственное решение задачи Коши для (I) [6]. Мы не будем предполагать, что правые части системы (I) непрерывно дифференцируемы по параметрам, так что это решение может и не быть непрерывно дифференцируемым по параметрам.

Кроме описания электрической цепи во временной области системой дифференциальных уравнений, в теории линейных цепей широко применяется описание цепи в частотной области заданием частотной характеристики $\Phi = \Phi(\omega)$. Параметры входят при этом в выражение Φ .

При проектировании цепи ставится задача так подобрать ее параметры, чтобы выходная функция (в частотной области - частотная характеристика) аппроксимировала некоторую заданную функцию. За меру близости двух функций $y(t)$ и $y_*(t)$ обычно принимается расстояние $\rho(y, y_*)$ либо в метрике функционального пространства L^2 :

$$\rho^2(y, y_*) = \int_{t_0}^{t_N} [y(t) - y_*(t)]^2 dt, \quad (3)$$

либо в чебышевской метрике для пространства непрерывных на отрезке функций:

$$\rho(y, y_*) = \max_{t \in [t_0, t_N]} |y(t) - y_*(t)|. \quad (4)$$

Такого же типа функционалы могут быть использованы для определения расстояний между $\Phi(\omega)$ и $\Phi_*(\omega)$ в частотной области [7].

(3) есть частный случай функционала более общего типа:

$$F = \int_{t_0}^{t_N} f(x, y, z, t) dt, \quad (5.1)$$

(который мы назовем функционалом типа Лагранжа [8]). Наряду с (5.1) рассмотрим еще два [8]:

$$F = y_1(t_N) \quad (5.2)$$

(функционал типа Майера) и

$$F = \int_{t_0}^{t_N} f_0(x, y, z, t) dt + g(t_0, y(t_0), z(t_0); t_N, y(t_N), z(t_N))$$

(функционал типа Больца).

Задачи с (3) мы уже рассматривали [1-4]. К задачам с функционалом типа (5.2) относятся, например, задачи на быстрое действие: $F = t_N - t_0$ (см. ниже - пример 2). Функционал III - го типа наиболее общий, охватывающий первые два. На самом деле все три обладают одинаковой степенью общности и переводятся один в другой заменой переменных [8].

На решении системы (I) функционал F становится функцией параметров $F = F(x)$, которая, вообще говоря, может и не быть непрерывно дифференцируемой (гладкой) функцией своих ар-

ментов по двум причинам: либо из-за недифференцируемости по параметрам решения системы (1), либо недифференцируемости функционала (например, типа (4)).

В задаче оптимизации параметров требуется найти минимум целевой функции $F(x)$ в области (2):

$$\min \{ F(x) | x \in X \} \quad (6)$$

Таким образом, получаем задачу нелинейного математического программирования, в которой допустимая область (2) выпукла и весьма проста, а целевая функция задана довольно сложным способом: как функционал на решении системы дифференциальных уравнений (для статических или задач в частотной области, вообще говоря, указывается алгоритм вычисления целевой функции).

В общем случае мы ничего не можем сказать о выпуклости функции $F(x)$, значения которой получаются только численно. Поэтому задача (6) ставится лишь на отыскание локального минимума. Некоторые сведения о характере множества минимумов функции $F(x)$ в области (2) можно получить, беря различные исходные допустимые точки.

3. Алгоритм решения задачи

Ванной применяемого ниже метода решения задачи оптимизации является алгоритм РЗ Зойтендейка [9], идея которого заключается в учете дополнительных ограничений — условий сопряженности, улучшающих (по Зойтендейку) сходимость в общем случае нелинейной функции цели. В случае квадратичной функции с неотрицательно определенной матрицей имеет место конечная сходимость.

В нашей литературе известен аналогичный метод сопряженных градиентов (см. [10]), где он применяется для решения систем линейных уравнений.

В американской литературе [11] приводится подобная процедура, дающая конечную сходимость для квадратичной функции. Отметим, что в [11] решается задача без ограничений.

Мы несколько упростим алгоритм Зойтендейка, поскольку ог-

раничения в нашем случае очень просты. Мы не будем заниматься доказательством сходимости предлагаемого процесса, представляющего эвристическую процедуру, на основе которой составлена довольно обшая программа для решения широкого круга практических задач оптимизации.

Во всяком итерационном процессе движения к оптимуму различаются три этапа: 1) нахождение в текущей допустимой точке направления движения, 2) определение величины шага по этому направлению, 3) проверка критерия оптимальности.

Опишем, как осуществляются эти этапы в нашем случае, а потом приведем весь алгоритм в целом. Для простоты начнем с 3-го этапа.

Процесс достижения минимума считается законченным, если мы пришли в такую его окрестность, что относительное уменьшение целевой функции $\delta F = \frac{F^k - F^{k+1}}{1/2(F^{k+1} + F^k)}$ становится меньше наперед заданного числа ϵ . Кроме этого, используется еще и другой критерий оптимальности: малость модуля текущего направления S^k :

$$|S^k|^2 = \sum_i (S_i^k)^2 < \epsilon'$$

Предположим, что в текущей допустимой точке x^k известно возможное подходящее направление S^k (терминология из [9]). Шаг λ_k по направлению S^k определяется так:

$$\lambda_k = \min(\lambda_k', \lambda_k''),$$

где λ_k' — то значение λ , при котором луч $x^k + \lambda S^k$ "протыкает" границу допустимой области:

$$\lambda_k' = \min_i \lambda_{ki}, \quad \lambda_{ki} = \begin{cases} \frac{a_i - x_i^k}{S_i^k}, & \text{если } S_i^k < 0, \\ \frac{b_i - x_i^k}{S_i^k}, & \text{если } S_i^k > 0; \end{cases}$$

λ''_k определяется из условия, что функция $f(\lambda) \equiv F(x^k + \lambda S^k)$ при $\lambda = \lambda''_k$ достигает минимума на отрезке $[0, \lambda'_k]$.

Для определения λ''_k $f(\lambda)$ аппроксимируется параболой $f(0) + f'(0)\lambda + b\lambda^2$. Величины $f(0) = F(x^k)$ и $f'(0) = gS$ при этом уже вычислены (см. ниже), а для определения коэффициента b вычисляется значение $f(\lambda'_k)$. Тогда:

$$b = \frac{f(\lambda'_k) - f(0) - gS \lambda'_k}{\lambda'^2_k} \quad \text{и} \quad \lambda''_k = -\frac{gS}{2b}$$

Подробности этой процедуры приведены в блок-схеме (рис. 8) и автокодовой программе.

Для определения направления S^k вычисляется градиент целевой функции: $g^k = \text{grad } F(x) |_{x^k}$. Если $\lambda_{k+1} = \lambda'_{k+1}$, т.е. мы вышли на граничную гиперплоскость по i^* -й координате, то полагаем $g_{i^*}^k = 0$, если направление $-g_{i^*}^k$ выводит за пределы области (2). Вектор возможного подходящего направления при $\lambda_{k+1} = \lambda'_{k+1}$ есть антиградиент: $S_i^k = -g_i^k, i=1, \dots, m$ (в начале процесса полагаем $\lambda_1 = \lambda'_1$).

Если $\lambda_{k+1} = \lambda''_{k+1} < \lambda'_{k+1}$, то мы учитываем дополнительные ограничения - условия сопряженности:

$$(g^{\ell+1} + S^{\ell+1})^T S = 0, \quad (7)$$

$\ell = 2, \dots, k-1$, где ℓ - таково, что $\lambda_{\ell+1} = \lambda'_{\ell+1}$, $\lambda_\ell = \lambda''_\ell$, $\ell < k \leq k-1$.

Запишем (7) в матричной форме:

$$AS = 0. \quad (8)$$

На каждом шаге итерационного процесса мы сохраняем столько условий сопряженности (7), чтобы оставалась, по крайней мере, одна степень свободы при выборе S^k , т.е. матрица A имеет размерность $p \times m$; $p \leq m-1$.

Пусть A_2 - невырожденная подматрица матрицы A размерности $p \times p$. Представим A в виде:

$$A = \|A_1, A_2, A_3\|, \quad (9)$$

где

$$A_1 = \| \alpha_{,1}, \dots, \alpha_{,p_1-1} \|,$$

$$A_2 = \| \alpha_{,p_1}, \dots, \alpha_{,p_1+(p-1)} \|,$$

$$A_3 = \| \alpha_{,p_1+p}, \dots, \alpha_{,m} \|.$$

(точка означает, что соответствующий индекс пробегает все значения).

В соответствии с представлением (9) векторы g^k и S также разобьем на части:

$$g^k = \|g_1^k, g_2^k, g_3^k\|; \quad S = \|S_1, S_2, S_3\|,$$

(заметьте, что если несобственная подматрица A_2 стоит в начале или в конце матрицы A , то мы имеем разбиение A , g^k и S на две части).

Условия сопряженности (8) принимает вид:

$$A_1 S_1 + A_2 S_2 + A_3 S_3 = 0.$$

Оставая за свободными (небазисными) переменными S_1^k и S_3^k их значения, найденные при вычислении градиента:

$$S_1^k = -g_1^k, \quad S_3^k = -g_3^k,$$

для зависимых (базисных) компонент вектора S^k найдем:

$$S_2^k = A_2^{-1}(A_1 g_1^k + A_3 g_3^k).$$

Таким образом, при $\lambda_{k+1} = \lambda''_{k+1} < \lambda'_{k+1}$ направление S^k определенно: мы проектируем антиградиент на гиперплоскости, ортогональные разности $(\ell+1)$ -го и ℓ -го направлений.

В обоих случаях определения возможного подходящего направления вычисляется скалярное произведение $gS = (g^k)^T S^k$.

Итак, кратко алгоритм выглядит следующим образом (подробности см. в блок-схемах и автокодовой программе).

Г⁰. Пусть определены итерационные точки x^0, x^1, \dots, x^k

$$(x^k \in X, F(x^k) < F(x^{k-1})).$$

2°. Вычисляем g^k .

2а. Если $\lambda_{k-1} = \lambda'_{k-1}$, то полагаем $S_i^k = -g_i^k, i=1, \dots, m$.

При этом $g_i^k = 0$, если направление $-g_i^k$ не является возможным.

2б. Если $\lambda_{k-1} = \lambda''_{k-1} < \lambda'_{k-1}$, то учитываются условия сопряженности (о преобразовании матрицы A см. пояснения к блок-схеме).

3°. Вычисляем $gs = (g^k)^T S^k$. Если gs мало, процесс прекращается.

4°. Определяем λ'_k и λ''_k .

5°. Находим $\lambda_k, x^{k+1} = x^k + \lambda_k S^k$ и вычисляем $F(x^{k+1})$ и δF . Если δF мало, процесс прекращается, в противном случае возвращаемся к 2°.

4. Блок-схема программы

На рис. 1 изображена общая блок-схема программы. В прямоугольниках, обведенных одной чертой, показаны простые (или составные) операторы; прямоугольники, обведенные двойной чертой, соответствуют целым блокам, которые на последующих рисунках (2-14) расшифровываются детально. В ромбиках записано логическое условие, истинность которого подлежит проверке. В квадратиках выделены метки некоторых операторов.

В операторах присваивания используется знак " $=$ ". Для операторов цикла принято обозначение: $i = i + \Delta$; α, β . Эта запись означает, что параметр цикла i изменяется от α до β с шагом Δ . Операторы цикла показаны не везде: там, где это можно, приведены операции над векторами (например, $g^1 = \bar{s}$). Подпрограммы обозначены так же, как блоки.

Как уже говорилось, программа предназначена для решения как динамических, так и статических задач оптимизации. Нестандартным блоком для динамического случая является подпрограмма счета правых частей (ПОД SPZ) для системы (1), для статической задачи нестандартный блок - подпрограмма вычисления функции $F(x)$ ставится на место ПОД F , ПОД $AWJN$, ПОД $RUKU$, ПОД SPZ и ПОД RNU с помощью корректировочного оператора ЗАМЕНИТЬ.

Переменные z стандартизованы таким образом, что значение целевой функции присваивается переменной $z_{k+1|1}$, значение времени t - переменной $z_{k+1|2}$.

Мы уже отмечали, что программа позволяет решать задачи как с гладкими целевыми функциями, так и с негладкими. Признаком того, что задача имеет гладкую функцию цели, является задание $\epsilon < \epsilon_1$ (противоположное условие должно быть задано для задач с негладкими функциями цели).

Пояснения к общей блок-схеме. После ввода исходных данных проверяется, является ли задача "гладкой" или нет. Для "гладкой" решение проводится по способу сопряженных направлений, для "негладкой" - по методу конфигураций [12]. Перед работой по первому способу вычисляются величина масштаба (переменная MAS), необходимого для определения относительной погрешности.

Вся последующая процедура понятна из блок-схемы и описания алгоритма.

Пояснения к отдельным блокам

Блок конфигураций (рис. 2-4) отличается от соответствующей блок-схемы в [12] тем, что, во-первых, после осуществления результирующего шага проверяется, уменьшалась ли целевая функция, а потом уже производятся пробные шаги (этим достигается большая эффективность процесса), во-вторых, в процесс решения включены ограничения, отсутствующие в [12].

Блок вычисления градиента (рис. 5) определяет частные производные от целевой функции по параметрам так же, как и в [1], по формулам численного дифференцирования.

Блок сопряженных направлений (рис. 6) вычисляет возможное подходящее направление с учетом условий сопряженности. Как уже отмечалось, должно выполняться условие $\rho < m-1$. В начале блока проверяется выполнение этого условия, и, если это возможно, ρ увеличивается. Если $\rho \geq 2$,

то строки матрицы A сдвигаются вниз: первая на место второй, ..., $(p-1)$ -я на место p -ой. Первая строка (если $p=1$, то она единственная) формируется как разность k -го и $(k-1)$ -го направлений.

Далее квадратная подматрица размерности $p \times p$ переснимается в рабочий массив AR , с которого будет производиться процедура обращения, и запоминается $p1$ - номер первого столбца этой подматрицы. Если в процессе обращения матрицы AR окажется, что она вырожденная ($N4=0$ - см. ПОД ОБМАТ), то в массив AR выбирается из A следующая подматрица $p \times p$, т.е. $p1$ увеличивается на 1, если это возможно. Если все соседние подматрицы размерности $p \times p$ окажутся вырожденными, то p -число строк матрицы A - уменьшается на 1, если это возможно, и процедура обращения повторяется. При этом, если в матрице A не остается ни одной строки, то очередной итерационный шаг производится без учета условий сопряженности.

После обращения матрицы $AR=A2$ вычисляются базисные компоненты вектора S^* (внебазисные сохраняют значений компонент антиградиента), и подсчитывается величина qs .

Б л о к λ' (рис.7) и λ'' (рис.8) вычисляют значения λ'_k , λ''_k , λ_k , а также находят следующую итерационную точку x^{k+1} и значение в ней целевой функции.

Обращение матрицы производится по способу Рунтисхаузера [13]. Этот способ представляет собой модификацию метода Гаусса-Жордана, удобную для реализации на ЭЦМ. Весь процесс обращения по Рунтисхаузеру подразделяется на три этапа: 1) выбор главного элемента и запоминание его координат (блок-схема на рис.9); 2) вычисление векторов B и C и пере-вычисление матрицы $A2^v$; $v = 1, \dots, p$ (рис.10); 3) перестановка столбцов (рис.11) и строк (блок-схема аналогична рис.11) для получения $A2^{-1}$. Более подробных пояснений к этой подпрограмме мы не приводим.

Б л о к и н т е г р и р о в а н и я системы по методу Рунге-Кутты с автоматическим выбором шага представлен четырьмя подпрограммами:

1) ПОД F (рис. 12), где предусмотрена возможность получения начальных условий по некоторым координатам;

2) ПОД $RUKU$ (рис. 13), осуществляющей собственно интег-

рирование;

3) ПОД $AWJN$ (рис. 14), в которой происходит выбор шага интегрирования по величине заданной абсолютной погрешности;

4) ПОД $SP4$, где производится счет правых частей системы.

Полный текст автокодовой программы УПОЭЦ (без тела ПОД $SP2$, добавленного к программе с помощью корректировочного оператора ВСТАВИТЬ) приведен в приложении.

5. Примеры

В качестве тестового примера для отладки программы УПОЭЦ и проверки ее эффективности была выбрана функция

$$F(x) = x_1^2 + 5x_2^2 + 100x_3^2, \quad (10)$$

линии уровня которой представляют собой сильно вытянутые эллипсоиды.

Применение метода наискорейшего спуска для отыскания минимума этой функции - точки $\hat{x}^* = \|0,0,0\|$ - с заданной точностью дает медленную сходимость (см.табл. I). При этом следует заметить, что как по способу вычисления градиента, так и по способу определения минимума по направлению в применяемом методе, во-первых, не производится "лишних" вычислений $F(x)$, во-вторых, и градиент, и минимум по направлению для квадратичной функции определяются точно (в пределах точности машины).

Для сравнения в той же табл. I приведены результаты минимизации функции (10) с помощью программы УПОЭЦ, показывающие преимущество метода сопряженных направлений (по сравнению с методом наискорейшего спуска).

Вторым примером на применение программы УПОЭЦ может служить задача оптимизации параметров критерийного автомата [15,2] по критерию быстродействия, когда целевой функцией является функционал типа Майера:

$$T = t_N - t_0. \quad (11)$$

Таблица I

Методы	Число шагов	\hat{x}	\hat{J}
Наискорейшего спуска	711	$0,944 \cdot 10^{-3}$ $0,838 \cdot 10^{-8}$ $-0,285 \cdot 10^{-5}$	$0,892 \cdot 10^{-6}$
Сопряженных направлений (программа УНОЭЦ)	41	$-0,135 \cdot 10^{-7}$ $-0,167 \cdot 10^{-5}$ $-0,254 \cdot 10^{-6}$	$0,203 \cdot 10^{-10}$
минимум		0 0 0	0

Уравнения криotronного автомата даны в [15]. Здесь мы кратко опишем результаты решения этой оптимальной задачи.

Таблица 2.

№	x_1^0	x_2^0	x_3^0	y_1^0	y_2^0	T^0	\hat{x}_1	\hat{x}_2	\hat{x}_3	\hat{J}
1	0,3	0,7	I	I	0,25	10	0,3	0,7	0,4	4
2	0,3	0,7	I	0	0,55	10	0,3	0,7	0,4	4
3	0,4	0,75	0,85	0	0,75	10	0,4	0,764	0,4	4
4	0,4	0,75	0,85	I	0,25	8,5	0,4	0,75	0,4	4

В табл. 2 приведены исходные данные и результаты счета для четырех вариантов. На рис. 15-18 изображены соответствующие кривые переходных процессов.

Следует отметить, что критерий оптимизации по качеству переходного процесса, принятый в [2], оказался более "чувствительным" к параметрам x_1 и x_2 , чем применяемый здесь (II).

Л И Т Е Р А Т У Р А

1. В.К. КОРОЛЕВ. Применение методов квадратичного программирования для оптимизации параметров динамических систем. Данные сборник.
2. В.К. КОРОЛЕВ. Оптимизация криotronного автомата. Данные сборник.
3. В.К. КОРОЛЕВ. Расчет оптимальных параметров импульсного трансформатора. Вычислительные системы, Новосибирск, "Наука" СО, 1967, вып. 27.
4. В.К. КОРОЛЕВ. Оптимизация параметров усилителя-формирователя. Вычислительные системы, Новосибирск, "Наука" СО, 1967, вып. 27.
5. Г.М. ФИХТЕНГОЛЬЦ. Курс дифференциального и интегрального исчисления. т.1, Физматгиз, М., 1962.
6. Л.С. ПОНТРИГИН. Обыкновенные дифференциальные уравнения, "Наука" М., 1965.
7. Р.Б. FLEISCHER. Optimization Techniques in System Design, System Analysis by Digital Computer, New Jersey, May, 1966.
8. Л.Я. ЦИФ. Вариационное исчисление и интегральные уравнения, "Наука", М., 1966.
9. Г. ЗОТЕНДЕЙК. Методы возможных направлений. ИЛ, М., 1963.
10. И.С. БЕРЕЖИН, Н.П. КИДРОВ. Методы вычислений. т.1, Физматгиз, М., 1962.
11. R. FLECKNER and M.J.D. POWELL. A rapidly convergent descent method for minimization. Computer J., vol.6, 1963.
12. R. HOOKE and T.A. JEVES. "Direct search" solution of numerical and statistical problems. Journ. of Assoc. Comp. Mach., vol.8, N 2, 1961.
13. H. HUTHHAUSER. Zur Matrizeninversion nach Gauss-Jordan, ZAMP, X, 1959.
14. Д.Д. УАЙЛЬД. Методы поиска экстремума, "Наука", М., 1967.
15. Б.М. СОМЕЛЬ. Вопросы динамики асинхронных автоматов. Вычислительные системы, Новосибирск, "Наука" СО, 1968, вып. 33.

Поступила в редакцию
14.1.1969 г.

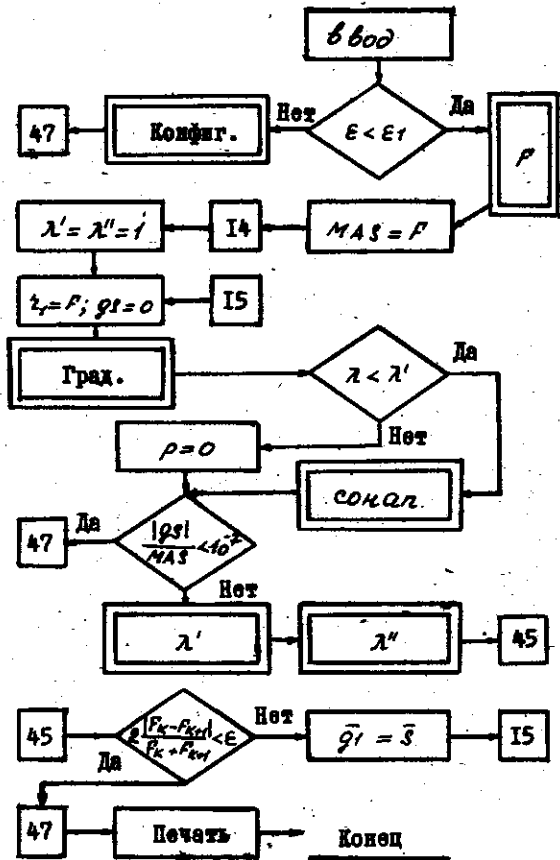


Рис. 1

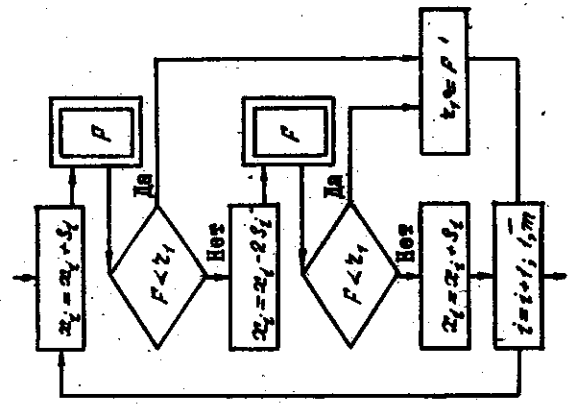


Рис. 3

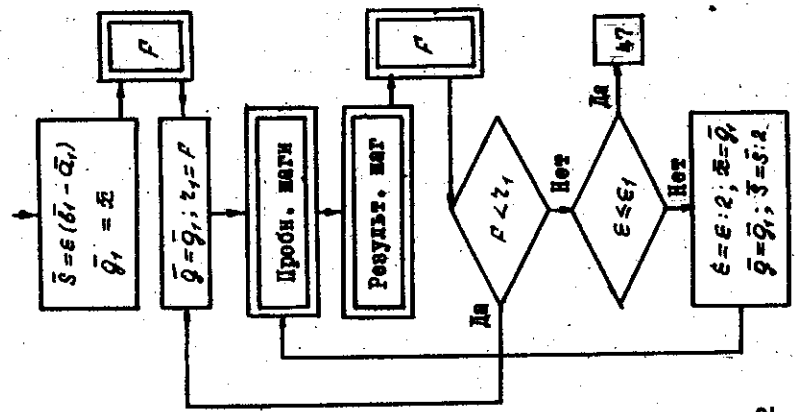


Рис. 2

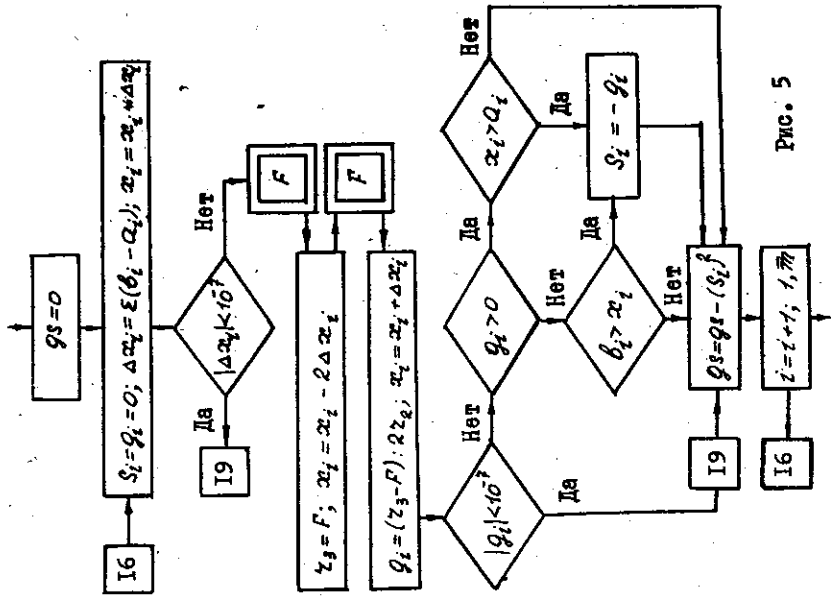


Рис. 5

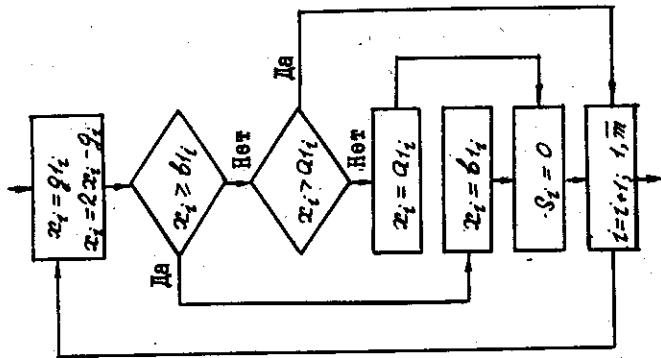


Рис. 4

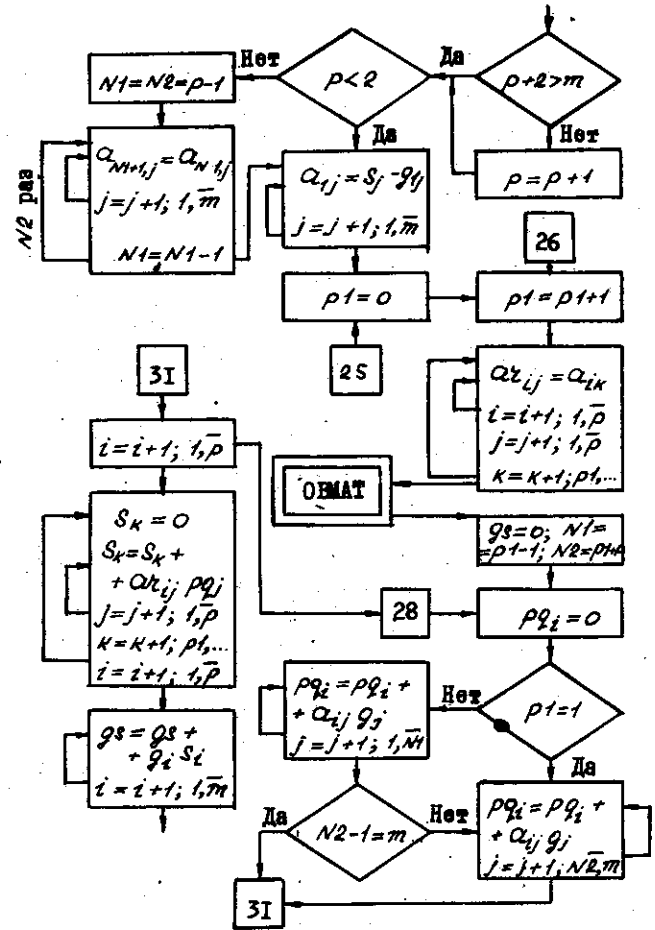


Рис. 6

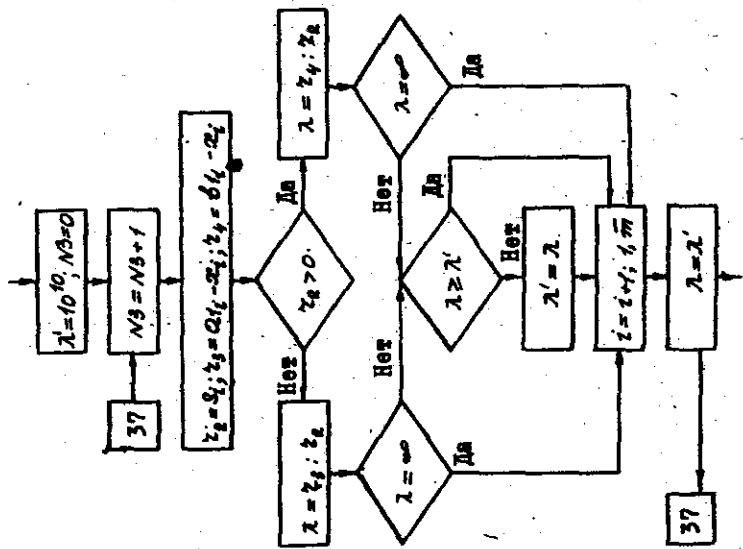


Рис. 7

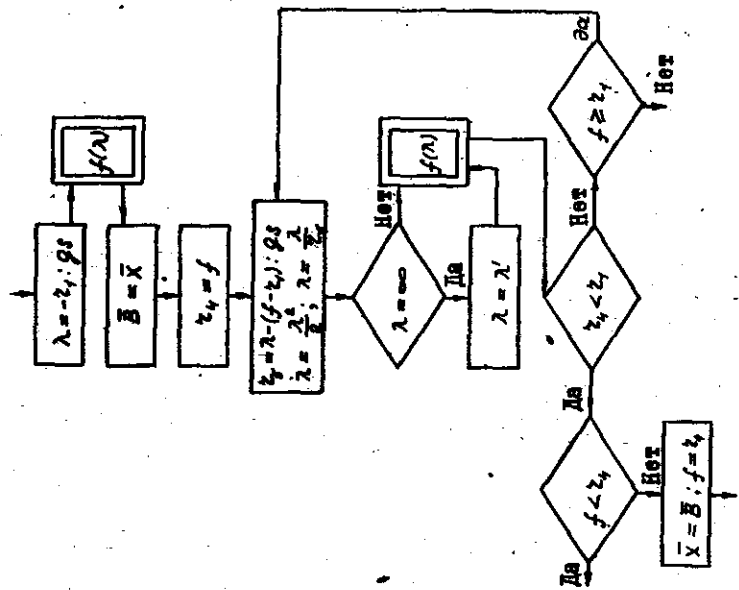


Рис. 8

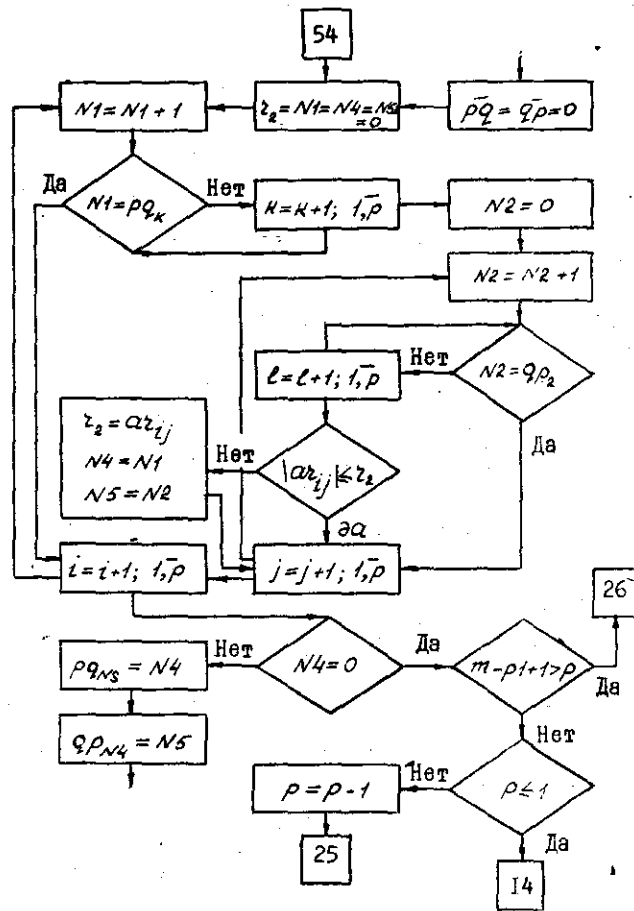


Рис. 9

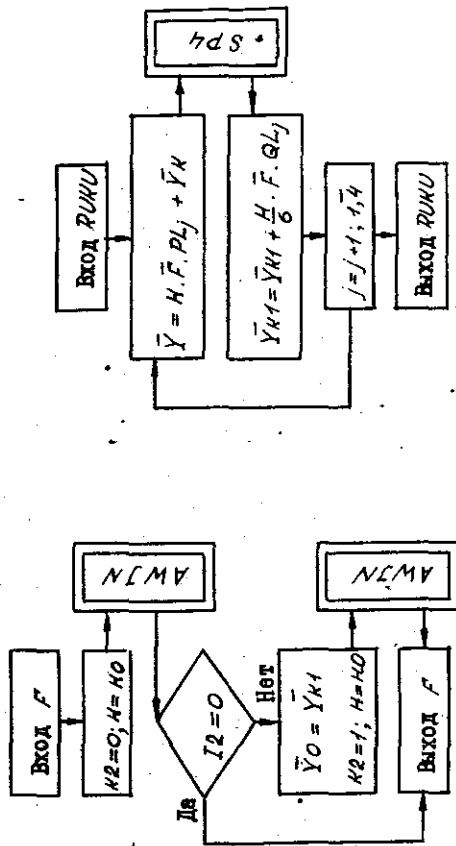


Рис. 12

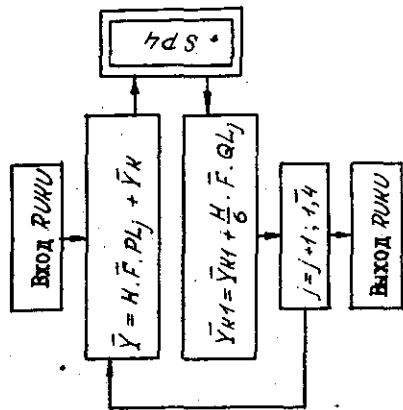


Рис. 13

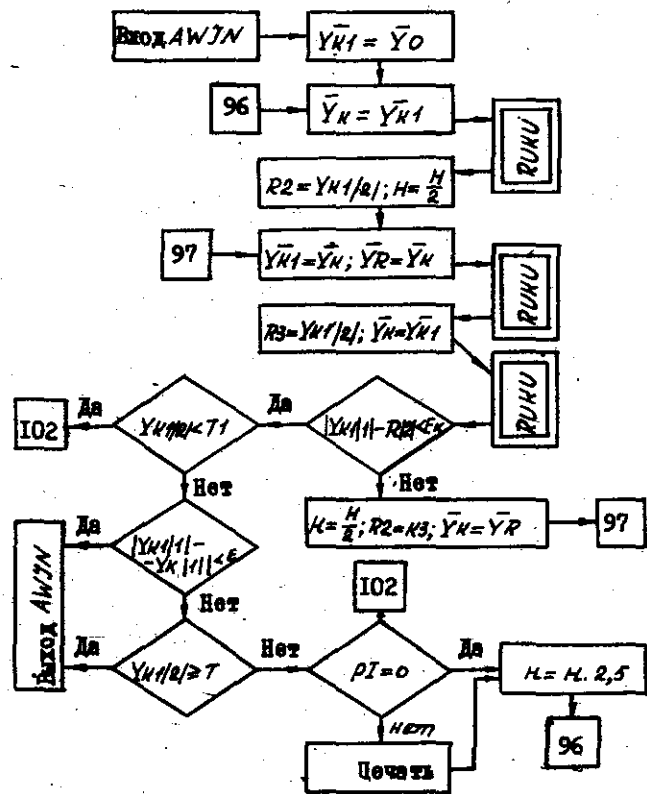


Рис. 14.

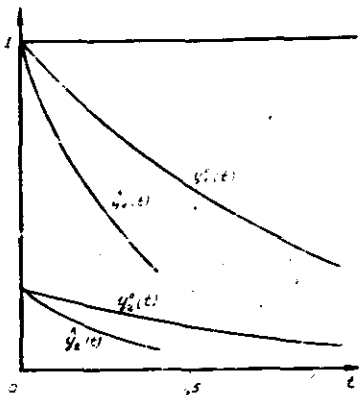


Рис. 15

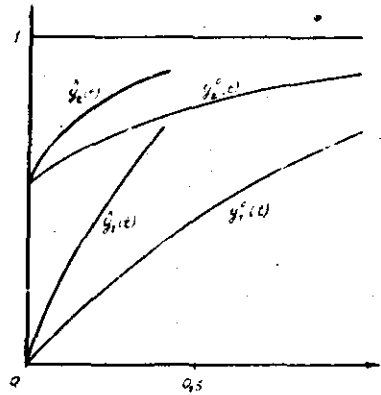


Рис. 16

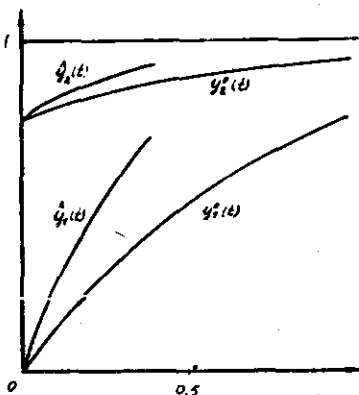


Рис. 17

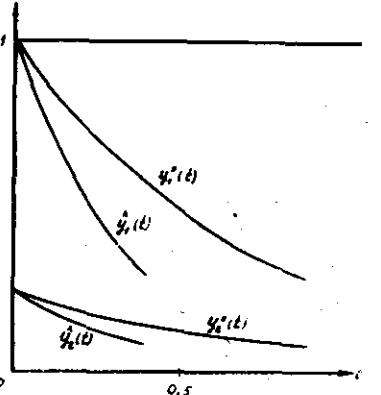


Рис. 18

01 УПОСЦУ
 02 MAC A(870 29.30), AR(870 29.30), G(30), S(30),
 03 P(30), QP(30), PT(30), X1(30), B(30), C(30)X
 04 HAZ PI=0.0, 5.0, 5.1 QI=1.2.2.1 YR(90)=AR/1.1/
 05 Y(90)=AR/4.1/ YK(90)=AR/7.1/ YK1(9)=AR/10.1/
 06 P(90)=AR/13.1/ G1(30)=AR/16.1/X
 07 1. ВВОД E, E1, E2, E3, EK, HO, T, T1, A1(30), X(30), B1(30), YO(9):N,
 M, I1, I2X
 08 ВМЧ :PIK=OX
 09 2. ВМЧ :PI=1X
 10 ВМЧ 91X
 11 НАП НА BPM YK1/1/, X(30)X
 12 ЕСЛ :PIK =0 TO 17X
 13 КОМ X
 14 17. ВМЧ :PI=OX
 15 ЕСЛ E (E1 TO 13X
 16 3. ВМЧ S/I=E.(B1/I/-A1/I/) G1/I=X/I/X

01 ПОВ 3 I=1 (1) MX
 02 4. ВМЧ G/I=G1/I/X
 03 ПОВ 4 I=1 (1) MX
 04 ВМЧ R1=YK1/1/X
 05 5. ВМЧ R2=S/I/ X/I/=X/I/+R2X
 06 ВМЧ 91X
 07 ЕСЛ YK1/1/ (R1 TO 6X
 08 ВМЧ X/I/=X/I/-2.R2X
 09 ВМЧ 91X
 10 ЕСЛ YK1/1/ (R1 TO 6X
 11 ВМЧ X/I/=X/I/+R2X
 12 ПЕР 7X
 13 6. ВМЧ R1=YK1/1/X
 14 7. ПОВ 5 I=1 (1) MX
 15 8. ВМЧ G1/I=X/I/ X/I/=X/I/.2-G/I/X
 16 ЕСЛ X/I/)=B1/I/ TO 9X

01 ЕСЛ X/I/)A1/I/ TO 11X
 02 ВМЧ X/I/=A1/I/X
 03 ПЕР 10X
 04 9. ВМЧ X/I/=B1/I/X
 05 10. ВМЧ S/I=OX
 06 11. ПОВ 8 I=1 (1) MX

07 BHP 91X/
 08 ECI YK1/1/ (R1 TO 4X
 09 ECI E (=R1 TO 48X
 10 BHP E=S:2X
 11 12. BHP X/I/=G1/I/ G/I/=G1/I/ S/I/=S/I/:2X
 12 NOB 12 I=1 (1) MX
 13 HEP 5X
 14 13. BHP MAS=YK1/1/X
 15 14. BHP LAM=1 LAM1=1X
 16 15. BHP R1=YK1/1/ GS=0X

ИМСТ 04

01 HAN NA BFM R1X
 02 16. BHP X1/I=-X/I/ S/I=0 G/I=0X
 03 BHP B4=X/I/X
 04 HAN NA BFM R4X
 05 BHP R2=M. (B1/I/-A1/I/) X/I=-X/I/+R2X
 06 ECI MOD(R2) (D-7 TO 19X
 07 BHP 91X
 08 BHP R3=YK1/1/ X/I=-X/I/-2.R2X
 09 BHP 91X
 10 BHP R5=(R3-YK1/1/):2:R2 X/I=-X/I/+R2 G/I=R5X
 11 ECI MOD(R5) (L-7 TO 19X
 12 ECI R5 0 TO 18X
 13 ECI B1/I/)X/I/ TO 35X
 14 HEP 19X
 15 18. ECI X/I/)A1/I/ TO 35X
 16 HEP 19X

ИМСТ 05

01 35. BHP S/I/=-R5X
 02 19. BHP GS=GS-S/I/'2X
 03 NOB 16 I=1 (1) MX
 04 BHP GS1=-GSX
 05 ECI LAM (LAM1 TO 21X
 06 BHP :P=0X
 07 20. ECI MOD(GS:MAS) (D-7 TO 47 IMAGE 36X
 08 BHP :P+2)M TO 22X
 09 21. ECI :P=P+1X
 10 BHP :P (2 TO 24X
 11 BHP :N1=P-1 N2=N1X
 12 22. ECI A/I+1, J/=A/I, J/X
 13 NOB 23 J=1 (1) MX
 14 NOB 23 I=N1 (1).1X
 15 BHP :N1=N1-1X
 16

ИМСТ 06

01 NOB 23 N2X
 02 24. BHP A/1, J/=S/J/-G1/J/X
 03 NOB 24 J=1 (1) MX
 04 25. BHP :P1=0X
 05 26. BHP :P1=P1+1X
 06 27. BHP AR/I, J/=A/I, K/X
 07 NOB 27 I=1 (1) PX
 08 NOB 27 J=1 (1), K=P1 (1).PX
 09 BHP 52X
 10 BHP GS=0 GS2=0X
 11 BHP :N1=P1-1 N2=P1+PX
 12 28. BHP PQ/I=0X
 13 ECI :P1 =1 TO 30X
 14 29. BHP PQ/I=PQ/I/+A/I, J/.G/J/X
 15 NOB 29 J=1 (1) N1X
 16 ECI :N2-1 =M TO 31X

ИМСТ 07

01 30. BHP PQ/I/=PQ/I/+A/I, J/.G/J/X
 02 NOB 30 J=N2 (1) MX
 03 31. NOB 28 I=1 (1) PX
 04 32. BHP S/K/=0X
 05 33. BHP S/K/=S/K/+AR/I, J/.PQ/J/X
 06 NOB 33 J=1 (1) PX
 07 NOB 32 K=P1 (1), I=1 (1) PX
 08 34. BHP GS2=GS2+S/I/'2X
 09 NOB 34 I=1 (1) MX
 10 BHP RM=(GS1:GS2)'(1:2)X
 11 41. BHP S/I/=S/I/, RM GS=GS+G/I/.S/I/X
 12 NOB 41 I=1 (1) MX
 13 ECI GS (0 TO 20X
 14 42. BHP S/I/=-S/I/X
 15 NOB 42 I=1 (1) MX
 16

ИМСТ 08

01 BHP GS=-GSX
 02 HEP 20X
 03 36. BHP LAM1=D10X
 04 37. BHP R2=S/I/ R3=A1/1/-X/I/ R4=B1/I/-X/I/X
 05 ECI R2 0 TO 38X
 06 BHP LAM=R3 LAM=LAM:R2X
 07 КОД -3300 0047 0050.-3077 0000 0000X
 08 38. BHP LAM=R4 LAM=LAM:R2X
 09 КОД -3300 0047 0050.-3077 0000 0000X
 10 39. ECI LAM)=LAM1 TO 40X
 11 BHP LAM1=LAMX

12 40. HOB 37 I=1 (1) MX
 13 BMV LAM-R1:65X
 14 BMV 49X
 15 43. BMV R/I=X/I/X
 16 HOB 43 I=1 (1) MX

INCT 09

01 BMV R4=YK1/1/X
 02 44. BMV R5=LAM-(YK1/1/-R1):GS LAM=LAM'2=3
 03 LAM=LAM:R5X
 04 KOX -3300 0155 0156.-3077 0000 0000X
 05 109. BMV LAM=LAM1X
 06 110. BMV 49X
 07 ECI R4 (R1 TO 111X
 08 ECI YK1/1/)=R1 TO 44 INA4E 45X
 09 111. ECI YK1/1/ (R4 TO 45X
 10 112. BMV X/I=X/I/X
 11 HOB 112 I=1 (1) MX
 12 BMV YK1/1/=BAX
 13 45. ECI 2. (R1-YK1/1/); (R1+YK1/1/) (R2 TO 47X
 14 46. BMV C/I=X/I/X
 15 HOB 46 I=1 (1) MX
 16 HEP 15X

INCT 10

01 47. ECI TP)0 TO 14X
 02 48. BMV :PIK=1X
 03 HEP 2X
 04 49. HOB XX
 05 ECI LAM)=0 TO 108X
 06 BMV LAM=OX
 07 108. ECI LAM (LAM1 TO 50X
 08 BMV LAM=LAM1X
 09 50. BMV X/I=X/I/I/+LAM.S/I/X
 10 HOB 50 I=1 (1) MX
 11 BMV 91X
 12 BMV XX
 13 52. HOB OBMAEX
 14 53. BMV :PQ/X/=0 QP/I/=OX
 15 HOB 53 I=1 (1) PX
 16 54. BMV R2=OX

INCT 11

01 BMV :N1=0 N4=0 N5=OX
 02 55. BMV :N1=N1+1X
 03 56. ECI :N1 =PQ/X/ TO 60X

04 HOB 56 K=1 (1) PX
 05 BMV :N2=OX
 06 57. BMV :N2=N2+1X
 07 58. ECI :N2 =QP/I/ TO 59X
 08 HOB 58 I=1 (1) PX
 09 ECI MOD(AR/I,J/) (=R2 TO 59X
 10 BMV R2=AR/I,J/X
 11 BMV :N4=N1 N5=N2X
 12 59. HOB 57 J=1 (1) PX
 13 60. HOB 55 I=1 (1) PX
 14 ECI :N4 =0 TO 61 INA4E 62X
 15 61. ECI :M=P+1)P TO 26X
 16 ECI :P (=1 TO 14X

INCT 12

01 BMV :P=P-1X
 02 HEP 25X
 03 62. BMV :PQ/K/=N4X
 04 HOB 62 K=N5 (1).1X
 05 63. BMV :QP/I/=N5X
 06 HOB 63 I=N4 (1).1X
 07 BMV :N1=OX
 08 64. BMV :N1=N1+1X
 09 ECI :N1 =N4 TO 65 INA4E 69X
 10 65. BMV :N2=OX
 11 66. BMV :N2=N2+1X
 12 ECI :N2 =N5 TO 67X
 13 BMV B/J/=AR/I,J/:R2 AR/I,J/=OX
 14 HEP 68X
 15 67. BMV B/J/=1:R2 AR/I,J/=OX
 16 68. HOB 66 J=1 (1) PX

INCT 13

01 69. HOB 64 I=1 (1) PX
 02 BMV :N2=OX
 03 70. BMV :N2=N2+1X
 04 ECI :N2 =N5 TO 71 INA4E 75X
 05 71. BMV :N1=OX
 06 72. BMV :N1=N1+1X
 07 ECI :N1 =N4 TO 73X
 08 BMV C/I/=AR/I,J/ AR/I,J/=OX
 09 HEP 74X
 10 73. BMV C/I/=1X
 11 74. HOB 72 I=1 (1) PX
 12 75. HOB 70 J=1 (1) PX
 13 76. BMV AR/I,J/=AR/I,J/+C/I/.B/J/X
 14 HOB 76 J=1 (1) PX
 15 HOB 76 I=1 (1) PX
 16 HOB 54 PX

ЛИСТ 14

01 ВМЧ :N1=OX
 02 77. ВМЧ :N1=N1+1 PT/K/=N1X
 03 ПОВ 77 K=1 (1) PX
 04 ВМЧ :N1=OX
 05 78. ВМЧ :N1=N1+1X
 06 ЕСЛ :N1 =P TO 83X
 07 ЕСЛ :N1 =PQ/L/ TO 82X
 08 79. ЕСЛ :PQ/L/ =PT/K/ TO 80 INA4E 81X
 09 80. ВМЧ R2=AR/I,L/ AR/I,L/=AR/I,K/ AR/I,K/=R2X
 10 ПОВ 80 I=1 (1) PX
 11 ВМЧ :PT/K/=PT/L/X
 12 ПЕР 82X
 13 81. ПОВ 79 K=N1 (1) PX
 14 82. ПОВ 78 I=1 (1) PX
 15 83. ВМЧ :N1=OX
 16 84. ВМЧ :N1=N1+1 PT/K/=N1X

ЛИСТ 15

01 ПОВ 84 K=1 (1) PX
 02 ВМЧ :N1=OX
 03 85. ВМЧ :N1=N1+1X
 04 ЕСЛ :N1 =P TO 90X
 05 ЕСЛ :N1 =QP/L/ TO 89X
 06 86. ЕСЛ :QP/L/ =PT/K/ TO 87 INA4E 88X
 07 87. ВМЧ R2=AR/L,J/ AR/L,J/=AR/K,J/ AR/K,J/=R2X
 08 ПОВ 87 J=1 (1) PX
 09 ВМЧ :PT/K/=PT/L/X
 10 ПЕР 89X
 11 88. ПОВ 86 K=N1 (1) PX
 12 89. ПОВ 85 I=1 (1) PX
 13 90. ВМЧ OBMATX
 14 91. ПОД FX
 15 ВМЧ K2=0 H=HOX
 16 ВМЧ 94X

ЛИСТ 16

01 ЕСЛ :I2 =0 TO 93X
 02 92. ВМЧ YO/I/=YK1/I/X
 03 ПОВ 92 I=I1 (1) I2X
 04 ВМЧ K2=1 H=HOX
 05 ВМЧ 94X
 06 93. ВМЧ FX
 07 94. ПОД AWINX
 08 95. ВМЧ YK1/I/=YO/I/X
 09 ПОВ 95 I=1 (1) NI
 10 96. ВМЧ YK/I/=YK1/I/X

11 ПОВ 96 I=1 (1) NX
 12 ВМЧ 104X
 13 ВМЧ R2=YK1/1/ H=H:2X
 14 97. ВМЧ YK1/I/=YK/I/ YR/I/=YK/I/X
 15 ПОВ 97 I=1 (1) NX
 16 ВМЧ 104X

ЛИСТ 17

01 ВМЧ R2=YK1/1/X
 02 98. ВМЧ YK/I/=YK1/I/X
 03 ПОВ 98 I=1 (1) NX
 04 ВМЧ 104X
 05 ЕСЛ MOD(YK1/1/-R2) (EK TO 101X
 06 ВМЧ H=H:2 R2=R3X
 07 100. ВМЧ YK/I/=YR/I/X
 08 ПОВ 100 I=1 (1) NX
 09 ПЕР 97X
 10 101. ЕСЛ YK1/2/ (T1 TO 102X
 11 ЕСЛ MOD(YK1/1/-YK1/1/) (EK TO 103X
 12 ЕСЛ YK1/2/)=T TO 103X
 13 102. ЕСЛ :PI =0 TO 99X
 14 НАП NA BEM YK1/2/,Z9X
 15 99. ВМЧ H=H.2,5X
 16 ПЕР 96X

ЛИСТ 18

01 103. ВМЧ AWINX
 02 104. ПОД RUKUX
 03 105. ВМЧ Y/I/=H.F/I/.FL/J/+YK/I/X
 04 ПОВ 105 I=1 (1) NX
 05 ВМЧ 107X
 06 106. ВМЧ YK1/I/=YK1/I/+H:6.F/I/.QL/J/X
 07 ПОВ 106 I=1 (1) NX
 08 ПОВ 105 J=1 (1) 4X
 09 ВМЧ RUKUX
 10 107. ПОД SP4X
 11 ВМЧ SP4X
 12 НАЧ 1X